

De midden- en finaal-paleolithische vondsten van Ronse - Pont West (Oost-Vlaanderen, BE)

Hans VANDENDRIESSCHE, Arne VERBRUGGE, Arne DEGRAEVE,
Bart CHERRETTÉ & Philippe CROMBÉ

1. Inleiding

Het archeologische onderzoek dat door SOLVA te Ronse-Pont West uitgevoerd werd van augustus 2011 tot november 2014, leverde een kleine verzameling lithisch materiaal op ($n = 185$). De vondsten werden verspreid aangetroffen over het ca. 17 ha grote onderzoeksgebied en bevonden zich, op enkele uitzonderingen na, in de vulling van jongere antropogene sporen of in de veel voorkomende natuurlijke sporen op de site. Ondanks de kleine hoeveelheid vondsten is deze assemblage qua typo-chronologische samenstelling vrij heterogeen. Naast een beperkte neolithische component bevat het ensemble bijvoorbeeld enkele opvallende midden-paleolithische en finaal-paleolithische artefacten. In deze bijdrage zullen enkel de artefacten uit deze laatstgenoemde periodes in detail besproken worden.

2. Situering

De site ligt in de Vlaamse Ardennen, ten zuiden van de getuigenheuvels van de Kluisberg, de Hotondberg en de Muziekberg, op ongeveer vier km ten zuidwesten van het stadscentrum van Ronse.



Fig. 1 – Topografische kaart met aanduiding van de site (bron NGI).

trum van Ronse (Fig. 1). Het onderzoeksgebied wordt in het noorden begrensd door de Doorniksesteenweg en wordt voorts omsloten door de Oude Pontstraat, de Pontstraat en de Malaise. De topografie van de onderzochte percelen wordt grotendeels bepaald door de aanwezigheid van een centraal gelegen tertiaire opduiking. Vanaf dit hoger gelegen punt helt het terrein zowel in noordelijke als in zuidelijke richting af, respectievelijk in de richting van de Molenbeek en de Sint-Maartensbeek.

Het substraat bestaat op het hoogste deel van de site uit tertiair zand en tertiaire klei. In de omliggende zones en dan voornamelijk in het noordelijke deel van de site was er nog een dun quartair dek bewaard, dat uit (zand)lemige sedimenten opgebouwd was. Bovendien was er in de leemprofielen steeds een B-horizont zichtbaar onder de ploeglaag en werden er plaatselijk ook oxido-reductie en cryoturbatie fenomenen vastgesteld (vorstwiggen, -polygonen). De meeste artefacten en vondstcontexten die in de hieropvolgende paragrafen aan bod komen zijn uit dit noordelijke, (zand)lemige deel van de site afkomstig (Fig. 2).

3. De midden-paleolithische vondsten

Twee van de drie midden-paleolithische vondsten werden reeds tijdens het proefsleuvenonderzoek gedocumenteerd. Het eerste artefact is een eindschrabber met partiël



Fig. 2 – Grondplan van de site met aanduiding van de midden-paleolithische vondsten (rode markers) en definaal-paleolithische vondst en contexten (blauwe markers) (© SOLVA).

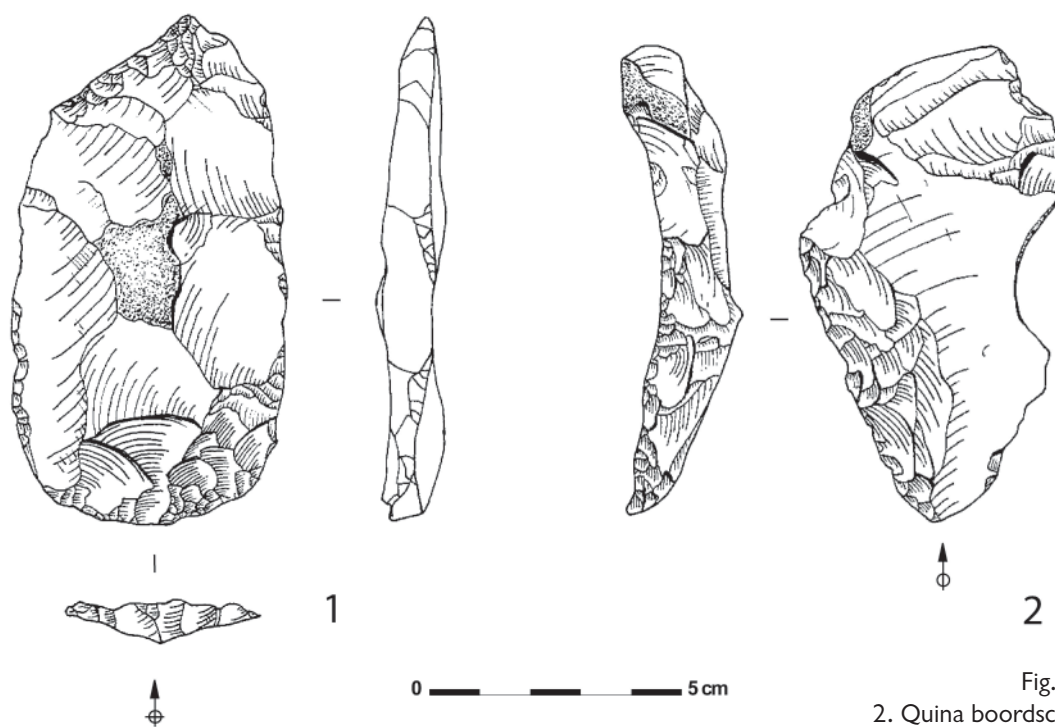


Fig. 3 – 1. Eindschrabber; 2. Quina boordschrabber. Schaal: 2/3.

geretoucheerde rechter- en linkerboord (Fig. 3:1), dat zich in de B-horizont in één van de proefsleuven bevond ter hoogte van een middeleeuwse gracht. Om na te gaan of er andere (mogelijke *in situ*) vondsten aanwezig waren in deze zone werd er een kijkvenster van 3 m bij 4 m geopend. Daaruit bleek echter dat het een geïsoleerde vondst betrof. Het artefact heeft een relatief vers voorkomen en vertoont slechts een weinig uitgesproken, lichtbruine patina (voornamelijk op de ventrale zijde). De gebruikte grondstof is een matig fijnkorrelige, weinig doorzichtige, donkerbruine tot donkergrijze vuursteen met lichtgrijze inclusies. De cortex van deze vuursteen is niet krijtig, maar ruw en kent een onregelmatig oppervlak zoals het cortexrestant op de ventrale zijde aantoont.

Zowel de partiële laterale retouches als de distale retouches die het schrabhoofd vormen, zijn direct en schuin aangebracht. De drager van het werktuig (102 x 52 x 14 mm) is een grote Levalloisafslag, met kenmerkende centripetale negatieven op het dorsale vlak. De centripetale voorbereiding en het cortexrestant wijzen verder op het feit dat het om de eerste (of enige) Levalloisafslag van de debitagesequentie gaat, ongeacht of de kern naderhand volgens een “lineale” of “recurrente” methode (cf. Boëda, 1994) afgebouwd werd. Ook typisch voor de Levalloistechniek is de gefacetteerde hiel “en chapeau de gendarme” en de bijna rechte buitenhoek (ca. 85°) van de slagvlakrand. Ten slotte valt de zorgvuldige slagvlakrandvoorbereiding op, die door middel van tal van kleine afhakingen/retouches verzorgd werd.

Het tweede artefact (Fig. 3:2) is een Quina boordschrabber (93 x [min.] 55 x 15 mm) (volgens de definitie van A. Turq [Turq, 2000: 314, 322]), dat gevonden werd in de opvulling van een omvangrijke middeleeuwse extractiekuil. Een bruine patina bedekt het volledige artefact, met uitzondering van een recent beschadigde zone aan de linkerboord. De grondstof aangewend voor de productie van dit artefact is een donkergrijze, matig fijnkorrelige vuursteen met lichtgrijze inclusies, die ook in recentere periodes veel geëxploiteerd werd door de prehistorische mens in de regio (Crombé *et al.*, 2011: 469; Vandendriessche *et al.*, 2015: 8). De linkerboord van het werktuig is intensief geretoucheerd aan de hand van een reeks envahissante, schubvormige retouches, gevolgd door een reeks lange schubvormige retouches en een laatste reeks korte schuine retouches. De drager is ten slotte een kernrandafslag met een asymmetrisch profiel in doorsnede.

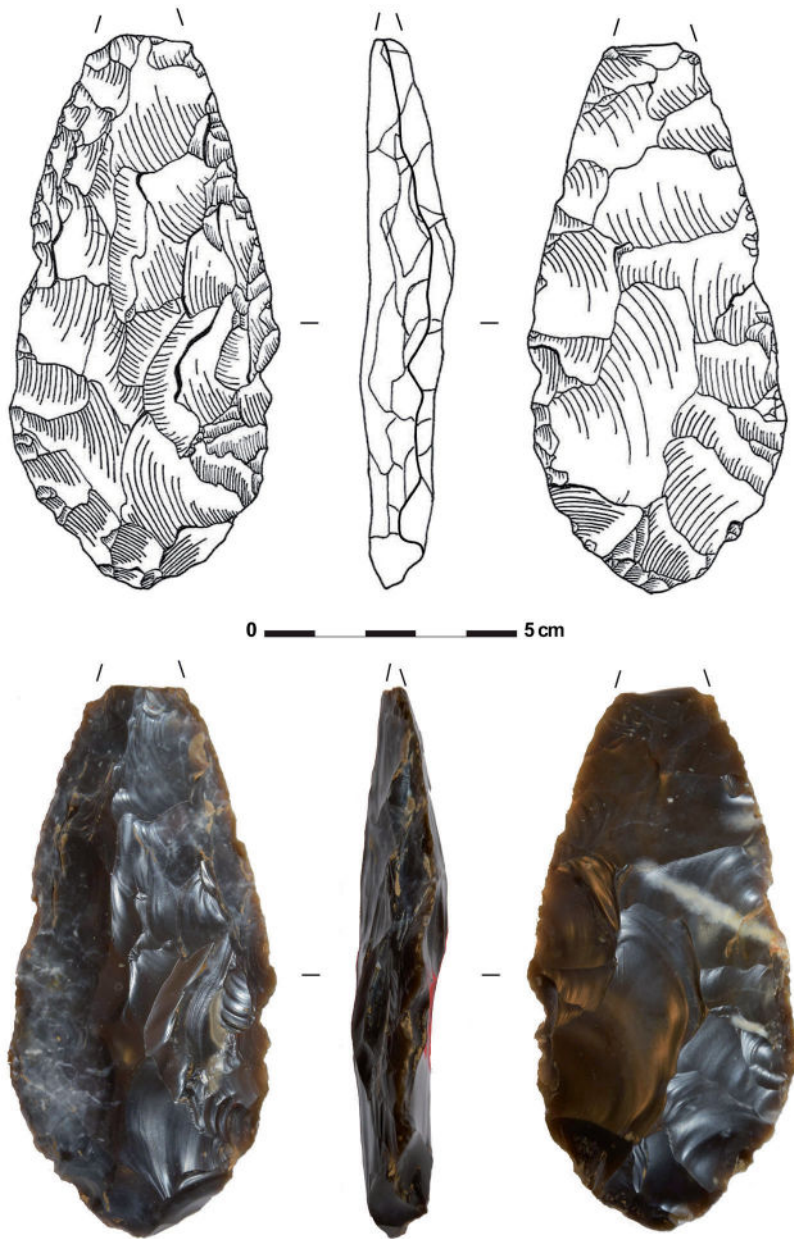


Fig. 4 – Technische tekening en fotografische weergave van de midden-paleolithische bladspits. Schaal: 2/3.

bepaald uit het vroege Weichseliaan (MIS 5d t.e.m. MIS 5a) en de midden-pleniglaciale fase van het weichseliaan (MIS 3). Verder heeft onderzoek van K. Ruebens aangetoond dat bladspitsen en andere Micoquiaan/KMG-elementen regelmatig deel uitmaken van de midden-paleolithische assemblages uit onze streken (die overigens door haar onder een nieuwe culturele entiteit gegroepeerd worden, het MBT / *Mousterian with bifacial tools*) (Ruebens, 2013; Ruebens, 2014). In Vlaanderen zijn voorbeelden van dergelijke werktuigen onder andere gekend op de Kimmelberg (Crombé & Van der Haegen, 1994), te Aalter-Nieuwendam (Crombé & Van der Haegen, 1994) en te Veldwezelt-Hezerwater (Bringmans, 2006).

Het midden-paleolithicum is ook in de onmiddellijke omgeving van de site vertegenwoordigd (Fig. 5) door enkele vindplaatsen. Veruit de belangrijkste hiervan is de site te Amougies (Crombé & Van der Haegen, 1994), waar een omvangrijke lithische industrie ($n = 5694$) met een beperkte Levalloiscomponent en twee bifaciale werktuigen ingeza-

Een derde en laatste artefact dat met zekerheid als midden-paleolithisch bestempeld kan worden is een bifaciaal bewerkt werktuig met een algemeen ovale morfologie (Fig. 4). Het werd tijdens de vlakdekkende opgraving gerecupereerd uit de vulling van of net aan de rand van een uitgebreide dassenburcht. Opnieuw ging het schijnbaar om een geïsoleerde vondst. Op één zijde is een uitgesproken lichtblauw/witgeaderde patina zichtbaar, terwijl de andere zijde slechts enkele witte patinavlekken vertoont. Op basis van de algemene morfologie, de metrische eigenschappen (min.) $108 \times 54 \times 18$ mm), de plano/convexe doorsnede van het artefact en de scherpe hoek tussen beide zijden (aan beide boorden en over de volledige lengte van het artefact minder dan 30°) kan dit werktuig als een bladspits omschreven worden (Ruebens, 2013: 7-8).

4. Typochronologische interpretatie en regionaal kader

Enkel wat de typochronologie van deze bladspits betreft kunnen we meer in detail treden. Recent overzichtswerk (Ruebens & Di Modica, 2011: 251; Ruebens, 2014: 141) wijst namelijk op het feit dat bifaciaal bewerkte werktuigen in België vooral op sites uit het late midden-paleolithicum voorkomen, meer

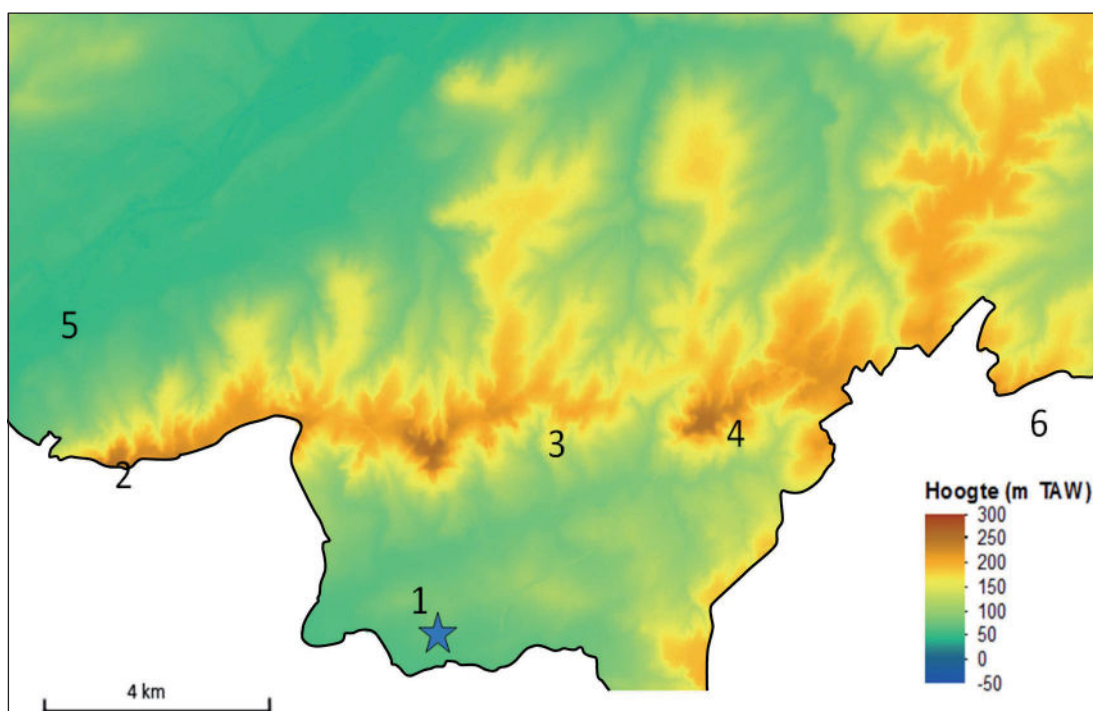


Fig. 5 – Digitaal hoogtemodel van de regio met aanduiding van de in de tekst vermelde sites:
 1. Ronse-Pont West; 2. Amougies-Kluisberg; 3. Ronse-Hoogerlucht; 4. Ronse-Muziekberg;
 5. Ruien-Rosalinde; 6. Flobecq-Pottelberg (bron AGIV).

meld werd. Vervolgens kunnen we nog minstens twee midden-paleolithische vondsten vermelden op de Pottelberg in Flobecq, met name een hartvormige vuistbijl en een gere-toucheerde Levalloisafslag (Crombé & Van der Haegen, 1994: 108-110); Acht mogelijke midden-paleolithische vondsten te Ronse-Hoogerlucht en nog twee vondsten van een niet gelokaliseerde vindplaats in Ronse (Crombé & Van der Haegen, 1994: 124). Op de overige sites gaat het ten slotte slechts om telkens één vondst: een Levalloisspits te Ruien-Rosalinde (Vandendriessche et al., 2015) en een mogelijke Levalloiskern op de Muziekberg (Crombé, 1989).

Op supra-regionale schaal kaderen de vondsten van Ronse-Pont West overigens perfect in een reeks sites en vondstmeldingen afkomstig van de midden-Belgische heuvelruggen (Di Modica, 2011: 85-86). Zodoende onderstrepen ze eens te meer (samen met de bovenvermelde vindplaatsen) het onderzoekspotentieel dat de regio van de Vlaamse Ardennen biedt wat het midden-paleolithicum betreft.

5. De finaal-paleolithische vondsten

Tijdens de eerste fase van het vlakdekkende onderzoek kwamen er daarenboven lithische artefacten aan het licht bij het blootleggen van een meervoudige windval (Fig. 6) in het noordoosten van de site. Na het machinaal verdiepen van de betreffende zone (ca. 130 m²), werden de contouren van een tiental windvallen zichtbaar. De lithische artefacten zaten voornamelijk in vijf van deze windvallen geclusterd. Hoewel de vondsten in eerste instantie, tijdens het aanleggen van de grondvlakken, in 3D ingemeten werden, werd de windvalstructuur met de hoogste densiteit aan vondsten in vakken van 50 cm op 50 cm en 10 cm diep opgegraven. De vulling van de overige windvallen werd in bulk verzameld. Ten slotte werden de verzamelde stalen nat gezeefd met een maaswijdte van 2 mm. In het totaal leverde dit 122 lithische artefacten op (Tab. 1).



Fig. 6 – Grondplan van de site met detailopname van de meervoudige windvalstructuur (© SOLVA).

Op vijf artefacten na, vertonen alle vondsten een patina, gaande van een witgrijze, een blauwgrijze of een beige patina tot een roodbruine patina. Meestal zijn deze patina's dekkend, waarbij er zich in sommige gevallen ook combinaties en graduele overgangen van de ene naar de andere patina manifesteren. De oorspronkelijke grondstof van het gros van de vondsten is een donkergrijze, weinig doorzichtige, matig fijnkorrelige vuursteen, waarin lineaire banden voorkomen. De cortex van deze grondstof is steeds ruw en matig gerold. Een herkomst uit een secundaire ontsluiting lijkt op basis van deze eigenschappen het meest plausibel.

De niet gepatineerde artefacten zijn aan de hand van een andere matig fijnkorrelige donkerbruine grondstof vervaardigd.

Een beknopte attribootanalyse en refitstudie laten toe om enkele technologische eigenschappen van deze assemblage te schetsen. In het totaal konden 14 (of 20 %) van de artefacten > 1 cm, afkomstig uit vier verschillende windvalcontexten betrokken worden in twee refitsequenties. Een eerste refitsequentie bestaat slechts uit drie artefacten en heeft betrekking op de initiële vormgeving van de kern. De tweede refitsequentie (n = 11) vertegenwoordigt naar alle waarschijnlijkheid de laatste fase van de *chaîne opératoire*. Ondanks de postdepositionele spreiding van de vondsten binnen verschillende windvalcontexten wijzen de grotendeels homogene grondstof van de assemblage, het feit dat alle patina's vertegenwoordigd zijn binnen de refits (Fig. 7:c) en de refits op zich, op een zekere homogeniteit van de assemblage. De vondsten zijn bovendien vermoedelijk slechts uit één of twee verschillende debitagesequenties afkomstig.

	(n =)
kern	1
afslag	25
(micro)kling	10
onbepaald afhakings fragment	17
verfrissingsmateriaal	8
chips	50
verbrande brokstukken	2
slagbultsplinter	1
werktuigen	6
vorstafslagen	2
totaal	122

Tab. 1 – Typologische samenstelling van de vondsten uit de windvalcontexten.

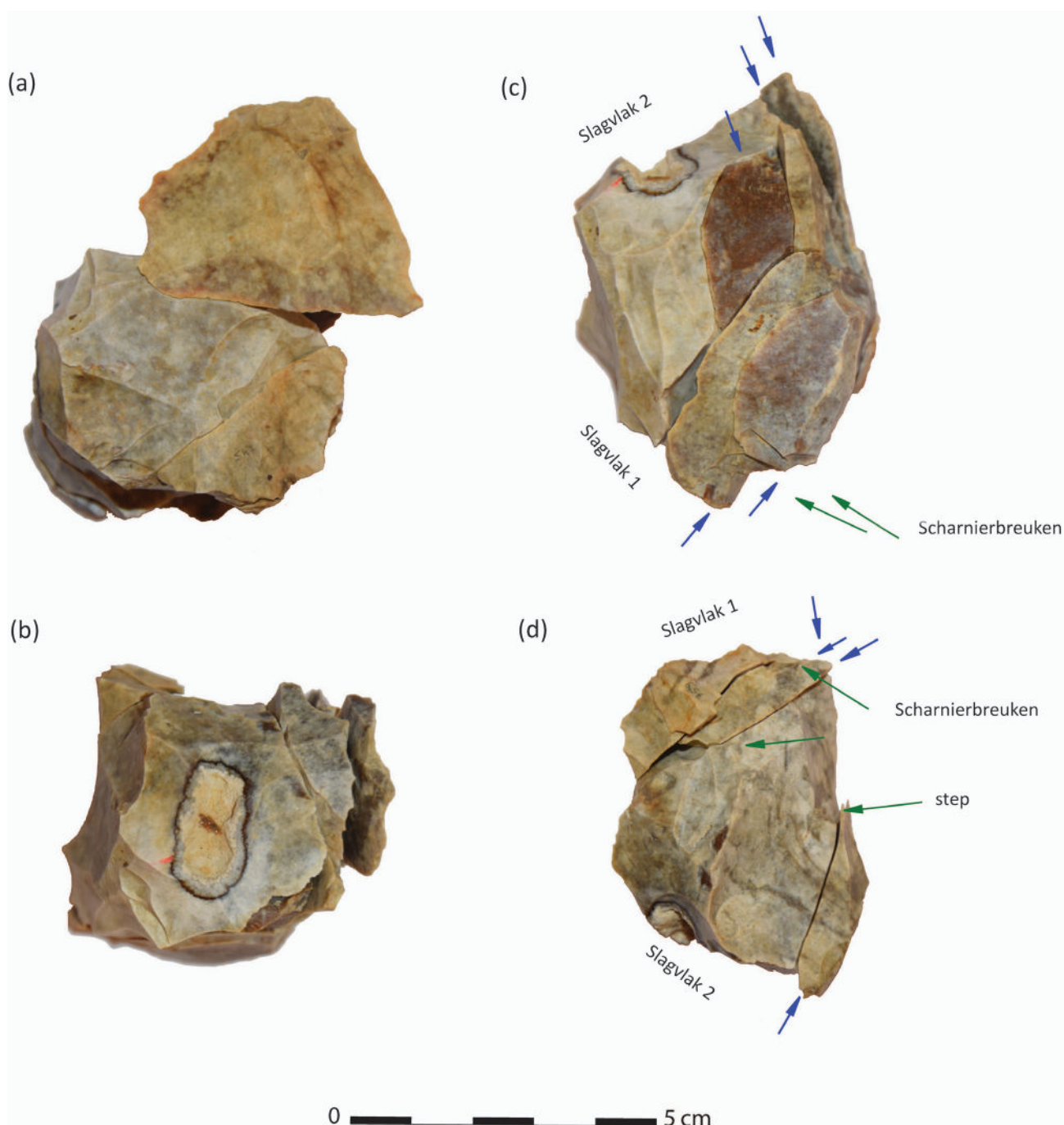


Fig. 7 – a: bovenaanzicht van slagvlak 1; b: bovenaanzicht van slagvlak 2; c: zijaanzicht van de refit met de weergave van de debitage in tegengestelde richting (blauwe pijlen) om de debitagefouten (groene pijlen) weg te werken; d: laatste fase van de debitage met een poging om in één beweging de slagvlakrandhoek te corrigeren en scharnierbreuken (groene pijlen) weg te werken door middel van het afhaken van een kernrandkling en een *lame sous-crête* (blauwe pijlen), en voortzetten van de debitage in tegengestelde richting, resulterend in een stepbreuk en uiteindelijke opgave van de kern.

Voor de debitage werd gebruik gemaakt van een vorstgefragmenteerde knol of plaquette, met een oorspronkelijke minimale lengte van ongeveer 10 cm. Dit komt enerzijds mooi tot uiting in de afmetingen van de refits en blijkt anderzijds uit de aanwezigheid van een mediaal klingfragment met lengte van minimaal 8 cm en een kernrandkling van bijna 10 cm. De kernrandklingen en -afslagen hebben doorgaans een vlakke hiel en vertonen naast een uni- of bilaterale voorbereiding vaak restanten van vorstvlakken. De initiële vormgeving van de kern beperkte zich dus tot het aanbrengen van een slagvlak en het installeren van verschillende kernranden, waarbij men toch maximaal trachtte te profite-

ren van de oorspronkelijke morfologie van het geëxploiteerde volume.

Om de volgende fase van de debitage te reconstrueren beschikken we in vergelijking over relatief weinig gegevens. Het bovenvermelde mediale klingfragment (min. lengte 8 cm, breedte 2 cm, dikte 8 mm) suggereert dat de debitage gericht was op het bekomen van lange, smalle microklingen met parallelle boorden en ribben. Uit de oriëntatie van de dorsale negatieven kunnen we afleiden dat de debitage in deze fase unidirectioneel verliep, vanuit één preferentieel slagvlak.

Dit lijkt echter een momentopname geweest te zijn. In de laatste fase van de debitage, die voornamelijk geïllustreerd wordt door de refits, werkte men afwisselend vanuit twee tegengestelde slagvlakken (Fig. 7:c-d). Deze omschakeling gaat gepaard met een overgang naar een productie die hoofdzakelijk op afslagen gericht was. De talrijke negatieven op beide slagvlakken (Fig. 7:a-b) tonen bovendien aan, dat er doorheen de debitage aanzienlijk veel zorg besteed werd aan het in stand houden van de hoek (ongeveer 75°-80°) tussen het slagvlak en de tafel. Mogelijk verliep de debitage oorspronkelijk vanuit één slagvlak en werd er gaandeweg geopteerd om gebruik te maken van een tweede slagvlak om zodoende meer controle te behouden over de longitudinale convexiteit van de tafel en om debitagefouten te corrigeren. De refitgegevens lijken deze hypothese te bevestigen.

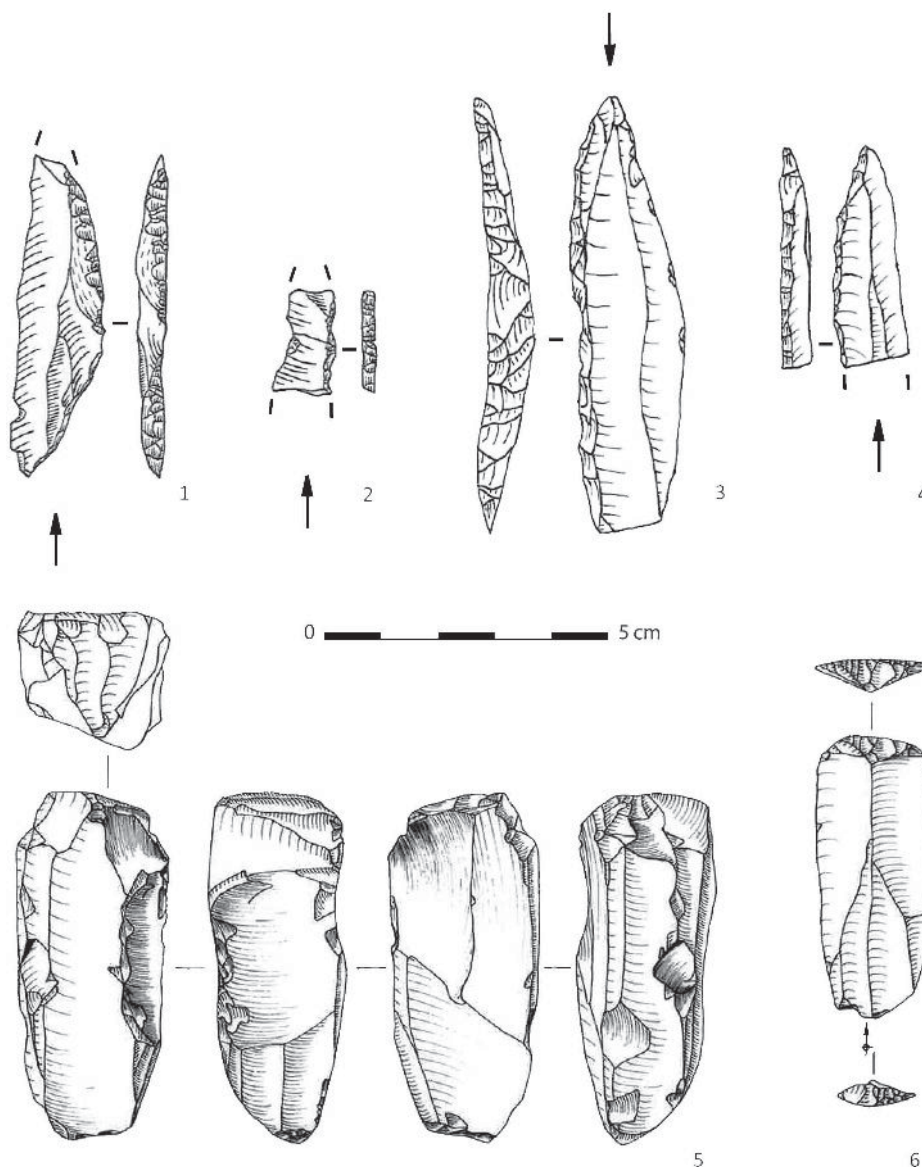


Fig. 8 – 1. Creswellspits; 2. Onbepaald mediaal spits- of microklingfragment; 3-4. Federmesserspits en fragment van een federmesserspits (?) (ongepubliceerd materiaal Flobecq-Pottelberg, tekeningen Philippe Crombé); 5. Klingenkern en 6. Klingschrabber met hiel en éperon (ongepubliceerd materiaal Amougies/Orroir-Kluisberg, tekeningen Philippe Crombé). Schaal: 2/3.

Zo kon een opéénstapeling van scharnierbreuken ter hoogte van het eerste slagvlak op succesvolle wijze weggewerkt worden vanuit het tweede slagvlak (Fig. 7:c). Daarna ontstond een nieuwe reeks scharnierbreuken op de tafel, wat waarschijnlijk samen met het sterk afgenomen volume van de kern leidde tot de opgave van de debitage (Fig. 7:d).

Het is voorts moeilijk om op basis van deze sterk gefragmenteerde debitagesequentie uitspraken te doen over de gehanteerde debitagemodus. De grote variabiliteit van de hieltypes bij de microklingen en afslagen is in dit opzicht opmerkelijk en zou in verband gebracht kunnen worden met het gebruik van een zachte en/of een harde stenen klopper. Vlakke hielen en gefacetteerde hielen zijn het best vertegenwoordigd. Daarnaast werden ook lineaire en puntvormige hielen vastgesteld. Bij de vlakke hielen zijn bovendien soms duidelijke impactpunten zichtbaar. De gefacetteerde hielen zijn het gevolg van de vele partiële slagvlakverfrissingen die in de loop van de debitage uitgevoerd werden (Fig. 7:b). Eén afslag duidt ten slotte mogelijk op het gebruik van een zachte (organische) klopper vanwege zijn erg uitgesproken lip en gebrek aan slagbult (Pelegrin, 2000: 77).

Op typologisch vlak bevatten de windvalstructuren weinig diagnostische elementen. Onder de werktuigen bevinden zich drie fragmenten van geretoucheerde microklingen, een chip met retouches en het mediale fragment van een onbepaalde spits (?) of microkling met afgestompte boord (Fig. 8:1). De opgraving leverde daarnaast ook een Creswellspits op (Fig. 8:2). Net als de vondsten uit de windvallen is ook dit artefact sterk gepatineerd. Een witgrijze tot blauwgrijze patina bedekt de helft van de dorsale zijde en de volledige ventrale zijde. De retouches bevinden zich langsheen de rechterboord, waarbij de schuine afknotting aan het proximale uiteinde gesitueerd is. De tegenoverliggende top van het artefact is afgebroken.

6. Typochronologische interpretatie en regionaal kader

De Creswellspits vormt op zich een overtuigende aanwijzing voor een finaal-paleolithische aanwezigheid op de site, maar ook de vondsten uit de windvalcluster kunnen hoogstwaarschijnlijk tot het finaal-paleolithicum gerekend worden. Hoewel deze contexten weinig diagnostische elementen aanreikten op typologisch vlak, sluit het lithische materiaal op technologisch vlak nauw aan bij de gekende finaal-paleolithische tradities uit onze streken (Perdaen et al., 2004; Crombé & Robinson, 2015: 6).

Zowel in de directe omgeving van de site als in de ruimere regio van de Bovenschelde is onze kennis van het finaal-paleolithicum beperkt (Crombé & Robinson, 2016: 2), wat in schril contrast staat met de stand van het onderzoek in de Benedenschelde. De beste parallellen voor de finaal-paleolithische vondsten van Ronse-Pont West vinden we opnieuw op de Kluisberg te Amougies/Orroir (o.a. Otte, 1979) (Fig. 8:5-6) en op de Pottelberg te Flobecq (Fig. 8:3-4) die reeds in de bovenstaande paragrafen over het midden-paleolithicum aan bod kwamen. Op beide sites werd een handvol artefacten ontdekt die in verband gebracht kunnen worden met hetzij de Magdaleniaan-, hetzij de Federmessercultuur.

7. Conclusie

Hoewel de onderzochte percelen te Ronse-Pont West voornamelijk tijdens jongere periodes geëxploiteerd werden, getuigen enkele midden- en finaal-paleolithische artefacten van een herhaaldelijke occupatie van de site in de steentijd. Eén van de midden-paleolithische artefacten, de bladspits, plaatst de (of één van de) midden-paleolithische occupatie(s) in de tweede helft van het midden-paleolithicum, meer bepaald in MIS 5d tot

5a of MIS 3. De finaal-paleolithische vondsten bevonden zich meer gegroepeerd in het noordelijke gedeelte van het terrein en kwamen, met uitzondering van de Creswellspits, aan het licht bij het blootleggen van een meervoudige windvalcontext. Ondanks de post-depositionele verstoring van de artefacten betrof het een relatief homogeen assemblage, dat op basis van de resultaten van een attribuutanalyse en een refitstudie aan het finaal-paleolithicum toegeschreven kan worden.

Dankwoord

We wensen alle tereinarcheologen en -medewerkers van SOLVA te bedanken, alsook Dr. Joris Sergant voor zijn terreinbezoeken en basisdeterminaties van de vuursteen.

Bibliografie

BOËDA E., 1994. *Le concept Levallois: variabilité des méthodes*. Monographie du CRA, 9, Paris: 285 p.

BRINGMANS P., 2006. *Multiple Middle - Palaeolithic occupations in a loess-soil sequence at Veldwezelt-Hezerwater, Limburg, Belgium*. Katholieke Universiteit Leuven, Leuven: 418 p.

CROMBÉ P., 1989. Oude vuurstevondsten op de Muziekbergte Ronse: Paleo-, Meso- en Neolithicum. *Vobov-info* 34/35: 1-27.

CROMBÉ P. & VAN DER HAEGEN G., 1994. *Het midden-paleolithicum in Noordwestelijk België*. Archeologische Inventaris Vlaanderen, Buitengewone reeks 3, Gent: 134 p.

CROMBÉ P., SERGANT J., ROBINSON E. & DE REU J., 2011. Hunter-gatherer responses to environmental change during the Pleistocene-Holocene transition in the southern North Sea basin: final Palaeolithic-Final Mesolithic land use in northwest Belgium. *Journal of Anthropological Archaeology*, 30: 454-471.

CROMBÉ P. & ROBINSON E., 2016. Human resilience to Late glacial climate and environmental change in the Scheldt basin (NW Belgium). *Quaternary International* (in press): 14 p.

DI MODICA K., 2011. La documentation du Paléolithique moyen en Belgique aujourd'hui, état de la question. In: Toussaint M., Di Modica K. & Pirson S. (red.), *Le Paléolithique moyen en Belgique. Mélanges Marguerite Ulrix-Closset*, Bulletin de la Société royale belge d'Études géologiques et archéologiques Les Chercheurs de la Wallonie, Hors-série 4 – ERAUL, 128, Liège: 75-104.

OTTE M., 1979. Documents du paléolithique supérieur au Mont de l'Enclus (Orroir, Hainaut). *Bulletin de la Société Tournaisienne de Géologie, Préhistoire et Archéologie, "Paléontologie et Préhistoire"*, 38: 195-199.

PELEGRIN J., 2000. Les techniques de débitage laminaire au tardiglaciaire : critères de

diagnose et quelques réflexions. In: Valentin B., Bodu P. & Christensen M. (red.), *L'Europe centrale et septentrionale au Tardiglaciaire. Confrontation des modèles régionaux de peuplement. Actes de la table-ronde de Nemours, mai 1997*, Mémoire du Musée de Préhistoire d'Île-de-France, 7, APRAIF, Nemours: 73-86.

PERDAEN Y., CROMBÉ P. & SERGANT J., 2004. Federmessergroepen in de Scheldepolders (Oost-Vlaanderen, België): Technologische variabiliteit binnen een vast schema. *Notae Praehistoricae*, 24/2004: 81-88.

RUEBENS K. & DI MODICA K., 2011. Les productions bifaciales du Paléolithique moyen sur le territoire belge. Présentation d'industries entre deux mondes. In: Toussaint M., Di Modica K. & Pirson S. (red.), *Le Paléolithique moyen en Belgique. Mélanges Marguerite Ulrix-Closset*, Bulletin de la Société royale belge d'Études géologiques et archéologiques Les Chercheurs de la Wallonie, Hors-série 4 – ERAUL, 128, Liège: 239-260.

RUEBENS K., 2013. Regional behaviour among late Neanderthal groups in Western Europe: A comparative assessment of late Middle Palaeolithic bifacial tool variability. *Journal of Human Evolution*, 65 (4): 1-22.

RUEBENS K., 2014. Late Middle Palaeolithic bifacial technologies across northwest Europe: Typo-technological variability and trends. *Quaternary International*, 350: 130-146.

TURQ A., 2000. Le moustérien de type Quina. In: Turq A. (dir.), *Le paléolithique inférieur et moyen entre Dordogne et Lot*, Société des Amis du Musée national de préhistoire et de la recherche archéologique, *Paléo, supplément* 2000, 2 (1): 310-343.

VANDENDRIESSCHE H., PEDE R., KLINKENBORG S., VERBRUGGE S., MIKKELSEN J. H., SERGANT J., CHERRETTÉ B. & CROMBÉ P., 2015. Steentijdvondsten uit het zuiden van Oost-Vlaanderen: het neolithicum te Leeuwergem-Spelaan (gem. Zottegem) en Ruien-Rosalinde (gem. Kluisbergen). *Notae Praehistoricae*, 35/2015: 5-23.

Samenvatting

In deze bijdrage beschrijven we de midden- en finaal-paleolithische vondsten die tijdens het archeologische onderzoek van SOLVA te Ronse-Pont West aan het licht kwamen. In een eerste luik worden de typologische en technologische kenmerken van de drie uitzonderlijke midden-paleolithische vondsten in detail weergegeven. In het tweede luik dat aan de finaal-paleolithische assemblage gewijd is, ligt de nadruk op de technologische eigenschappen van de vondsten, die door middel van een attribuutanalyse en refits bestudeerd werden.

Trefwoorden: Ronse - Pont West, midden-paleolithicum, finaal-paleolithicum, refitstudie, windval.

Résumé

Dans cette contribution, nous décrivons les artefacts du paléolithique-moyen et du paléolithique-final retrouvés lors des fouilles au site «Pont West» à Renaix par SOLVA. Une première partie de l'article concerne les caractéristiques typologiques et technologiques des trois artefacts exceptionnels du paléolithique moyen, tandis que la deuxième partie est dédié à l'étude de l'assemblage du paléolithique-final. Celle-ci concerne plutôt les aspects technologiques de l'assemblage, dérivés de quelques remontages et d'une lecture technologique des artefacts.

Mots-clés : Renaix « Pont West », Paléolithique moyen, Paléolithique final, remontages, chablis.

Hans VANDENDRIESSCHE
Universiteit Gent
Vakgroep Archeologie
35, Sint-Pietersnieuwstraat
BE - 9000 Gent
hans.vandendriessche@ugent.be

Bart CHERRETTÉ
Arne DEGRAEVE
Arne VERBRUGGE
SOLVA
25B, Industrielaan
BE - 9320 Aalst (Erembodegem)

Philippe CROMBÉ
Universiteit Gent
Vakgroep Archeologie
35, Sint-Pietersnieuwstraat
BE - 9000 Gent
philippe.crombe@ugent.be